

РАССЕЯНИЕ НОСИТЕЛЕЙ ЗАРЯДА В СЕГНЕТОЭЛЕКТРИЧЕСКОЙ ФАЗЕ ТВЕРДЫХ РАСТВОРОВ $Pb_{1-x}Ge_xTe$

A. И. Копыл, С. Д. Летюченко, В. И. Литвинов, Е. И. Слынько

При исследовании сегнетоэлектрического фазового перехода (СФП) в твердых растворах $Pb_{1-x}Ge_xTe$ основное внимание было уделено измерениям сопротивления при температуре перехода T_c [1–2]. Наблюдаемое уменьшение подвижности в области T_c связано с рассеянием носителей заряда на крупномасштабных флуктуациях поляризации, замороженных в области дефектов — примесных ионов Ge^{2+} . В пленках *n*-типа, однако, наблюдалось увеличение подвижности, обусловленное эффективным экранированием заряженных примесей из-за роста при $T=T_c$ диэлектрической постоянной [3].

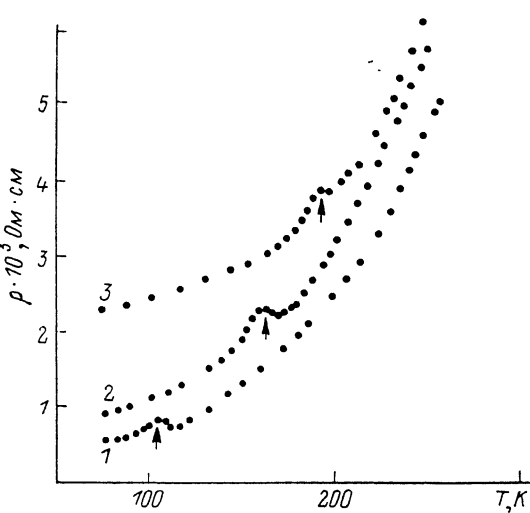


Рис. 1. Зависимость удельного сопротивления от температуры в образцах $Pb_{1-x}Ge_xTe$.
1 — $x=0.03$, 2 — 0.06, 3 — 0.08. Стрелками у кривых указаны T_c .

Представляет интерес выяснение механизмов рассеяния носителей заряда в сегнетоэлектрической фазе и сравнение их с таковыми в области $T > T_c$. Для этого в настоящей работе выполнены измерения коэффициента Холла, сопротивления и определены температурные зависимости холловской подвижности в широком интервале температур 77–300 К, охватывающем температуры ниже и выше T_c . На некоторых образцах определены значения подвижности при $T=4.2$ К. Измерения проведены на монокристаллических образцах $Pb_{1-x}Ge_xTe$ трех составов ($x=0.03, 0.06, 0.08$) *n*- и *p*-типов проводимости с различными концентрациями в диапазоне $1 \cdot 10^{17}$ – $3 \cdot 10^{18}$ см $^{-3}$. Исходные монокристаллы твердых растворов $Pb_{1-x}Ge_xTe$ выращены из паровой фазы по механизму пар—крикристалл с применением методики, описанной в [4]. При составах шихты $x=0.03, 0.06, 0.08$ получены монокристаллы диаметром до 30 мм, длиной до 40 мм, которые имели ростовую поверхность с огранкой кристаллографическими плоскостями (100) и (111). Структурное совершенство монокристаллов оценивалось по результатам металлографических и рентгенотопографических исследований. Малоугловые границы зерен отсутствовали, а плотность дислокаций, оцененная по ямкам избирательного травления, составляла $(1 \div 3) \cdot 10^4$ см $^{-2}$.

Молярный состав x и однородность монокристаллов $Pb_{1-x}Ge_xTe$ определялись тремя независимыми методами: с помощью рентгеноспектрального электронно-зондового микроанализатора Superprobe 733 фирмы JEOL, рентгенографическим методом по зависимости параметра элементарной ячейки от состава по закону Вегарда [5], а также по температуре T_c , для которой установлена однозначная зависимость от содержания германия в твердом растворе [1]. Температура фазового перехода определялась как температура максимума особенности на температурных зависимостях удельного сопротивления. Совместное использование независимых методов определения состава твердых растворов, результаты которых хорошо согласуются, позволило получить достоверные сведения о составе исследуемых образцов.

Измерения коэффициента Холла и электропроводности выполнены на

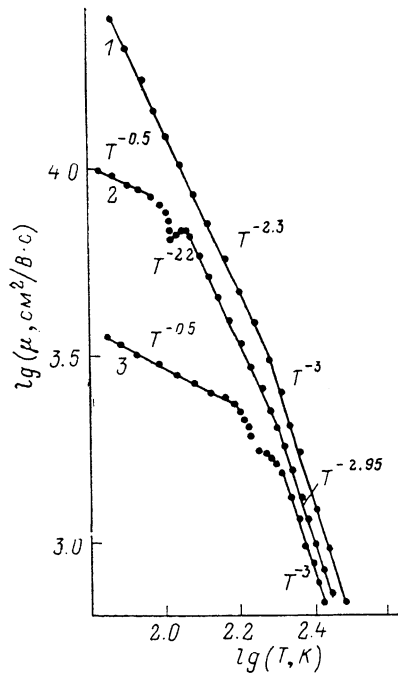


Рис. 2. Температурные зависимости холловской подвижности в образцах p -типа.
1 — $PbTe$; 2, 3 — $Pb_{1-x}Ge_xTe$ с $x = 0.03$ и 0.08 соответственно.

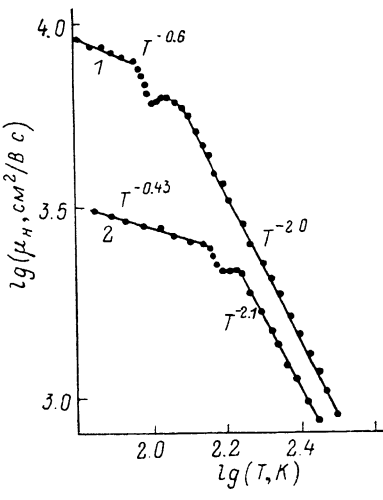


Рис. 3. Температурные зависимости холловской подвижности в образцах $Pb_{1-x}Ge_xTe$ n -типа.
1 — $x = 0.03$, 2 — 0.06 .

постоянном токе в постоянном магнитном поле в диапазоне температур 77—300 К. Контакты к образцам припаивались с помощью припоя — эвтектического сплава 95 % In + 4 % Ag + 1 % Au. Перед припайкой образцы электрополировались по методике, описанной в [6].

Коэффициент Холла практически не зависит от температуры для образцов с концентрациями носителей заряда n , $p = 1 \cdot 10^{17} \div 3 \cdot 10^{18} \text{ см}^{-3}$ и не имеет особенностей при $T = T_c$. В наших измерениях температура T_c , определенная по положению максимума на кривых $\rho(T)$ (рис. 1), зависит от x и не зависит от типа и концентрации носителей заряда. Зависимость $T_c(x)$, определенная на наших образцах, хорошо согласуется с результатами работы [1].

По результатам измерений коэффициента Холла и электропроводности построены температурные зависимости холловской подвижности μ_H , которые изображены в логарифмическом масштабе на рис. 2 (p -тип) и рис. 3 (n -тип). На рис. 2 для сравнения приведена зависимость $\mu_H(T)$ для образца p - $PbTe$, который является паразлектриком вплоть до $T=0$ К. В теллуриде свинца при $T > 77$ К доминирует рассеяние на фононах и справедлива зависимость $\mu_H \sim T^{-\alpha}$, где $\alpha = 2 \div 3$ [7]. В исследованных нами образцах $Pb_{1-x}Ge_xTe$ зависимость $\mu_H(T)$ при $T > T_c$ аналогична наблюдаемой в $PbTe$, причем $\alpha = 2.5 \div 3$ для образцов p -типа (рис. 2) и $\alpha = 2$ для n -типа (рис. 3). В области $T \approx 200$ К на зависимости

$\lg \mu_H$ ($\lg T$) в образцах $p\text{-Pb}_{1-x}\text{Ge}_x\text{Te}$ с $T_c < 200$ К ($x=0.03$) имеется излом. В образцах n -типа подобный высокотемпературный излом отсутствует. Более резкая зависимость $\mu_H(T)$ в образцах p -типа при $T > 200$ К обусловлена заполнением второго экстремума валентной зоны с большей эффективной массой дырок и наблюдается как в $p\text{-PbTe}$, так и в $p\text{-Pb}_{1-x}\text{Ge}_x\text{Te}$ (рис. 2). Наличие второго экстремума валентной зоны в твердых растворах $\text{Pb}_{1-x}\text{Ge}_x\text{Te}$ ($x=0.02, 0.07$) подтверждается результатами электрических и оптических исследований, приведенных в работе [8]. Для кристалла с $x=0.08$ излом отсутствует, так как в неполярной фазе ($T > 190$ К) сразу проявляется вклад второго экстремума.

На температурных зависимостях $\mu_H(T)$ (рис. 2, 3) имеются явно выраженный минимум подвижности при СФП и резкое изменение α в полярной фазе, что свидетельствует о смене основного механизма рассеяния при $T < T_c$. В $p\text{-Pb}_{1-x}\text{Ge}_x\text{Te}$ в низкосимметричной фазе $\alpha=0.5$, что свидетельствует о преобладании пьезоэлектрического рассеяния носителей заряда на акустических фонах — РА-рассеяния, — отсутствовавшего в высокотемпературной центросимметричной фазе. При дальнейшем понижении температуры (ниже 77 К) наблюдается насыщение зависимости $\mu_H(T)$ [9], которое обусловлено рассеянием на примесях и доменных стенах.

Кристаллы n -типа получены путем компенсации исходного материала p -типа в процессе изотермического отжига в парах шихты, обогащенной металлической компонентой. По этой причине образцы n -типа, по-видимому, более неоднородны, чем кристаллы p -типа. Таким образом, полученные результаты на образцах $n\text{-Pb}_{1-x}\text{Ge}_x\text{Te}$ (рис. 3; $\alpha=0.43 \div 0.60$ при $T < T_c$) свидетельствуют о вкладе рассеяния на неоднородностях на фоне основного РА-рассеяния. Отметим, что величина α практически не зависит от концентрации носителей заряда в диапазоне $n, p = 1 \cdot 10^{17} \div 3 \cdot 10^{18} \text{ см}^{-3}$ как в высокотемпературной, так и в низкотемпературной фазах.

Появление дополнительных механизмов рассеяния при переходе $\text{Pb}_{1-x}\text{Ge}_x\text{Te}$ в сегнетоэлектрическую фазу (РА-рассеяние, рассеяние на доменных стенах) приводит к сильному уменьшению подвижности при низких температурах. В исследуемых образцах $\text{Pb}_{1-x}\text{Ge}_x\text{Te}$ подвижность при $T=4.2$ К достигает значений $\simeq (1.0 \div 1.2) \cdot 10^4 \text{ см}^2 \cdot \text{В}^{-1} \cdot \text{с}^{-1}$, а для образцов PbTe , не испытывающих СФП вплоть до $T \rightarrow 0$ К, она равна $\sim 10^6 \text{ см}^2 \cdot \text{В}^{-1} \cdot \text{с}^{-1}$. Отметим, что при высоких температурах ($T > T_c$ для $\text{Pb}_{1-x}\text{Ge}_x\text{Te}$) подвижности носителей заряда в PbTe и $\text{Pb}_{1-x}\text{Ge}_x\text{Te}$ практически не отличаются.

Итак, наблюдаемая в настоящей работе смена механизмов рассеяния носителей заряда при $T=T_c$ может быть объяснена появлением пьезоэлектрического рассеяния на акустических фонах в низкосимметричной сегнетоэлектрической фазе полупроводниковых твердых растворов $\text{Pb}_{1-x}\text{Ge}_x\text{Te}$.

Л и т е р а т у р а

- [1] Takaoka S., Murase K. Phys. Rev. B, 1979, vol. 20, N 7, p. 2823—2833.
- [2] Абдуллин Х. А., Лебедев А. И. ФТТ, 1983, т. 25, № 12, с. 3571—3576.
- [3] Гришечкина С. П., Максимов М. Х., Селиванов Ю. Г., Шотов А. П. Препринт ФИАН, 1983, № 157. 27 с.
- [4] Tamari N., Shtrikman H. J. Electron. Mater., 1979, vol. 8, N 3, p. 269—288.
- [5] Hohnke O. K., Holloway H., Kaiser S. J. Phys. Chem. Solids, 1972, vol. 33, N 11, p. 2053—2062.
- [6] Norr M. K. J. Electrochemical Soc., 1962, vol. 109, N 5, p. 433—434.
- [7] Равич Ю. И., Ефимова Б. А., Смирнов И. А. Методы исследования полупроводников в применении к халькогенидам свинца PbTe , PbSe , PbS . М.: Наука, 1968. 383 с.
- [8] Massimo M., Cadoff J. B. J. Electron. Mater., 1976, vol. 5, N 6, p. 601—620.
- [9] Kumashiro Y., Tsuji K., Taksno S. J. Phys. Soc. Jap., 1984, vol. 53, N 8, p. 2651—2658.

Институт проблем материаловедения АН УССР
Черновицкое отделение
Черновцы

Поступило в Редакцию
5 марта 1988 г.
В окончательной редакции
8 июня 1988 г.